

بِسْمِ اللّٰهِ الرَّحْمٰنِ الرَّحِيْمِ



تأییدبندی هیأت داوران جلسه‌ی دفاع از پایان‌نامه

نام دانشجوی مهندسی شیمی

نام دانشجو: مجتبی نورالله

عنوان پایان‌نامه: بررسی آزمایشگاهی کاربرد نانو مواد در لایه‌های نفوذ‌گزار ببل سوخته خلأه بادل پروپرول

تاریخ دفاع: ۸۷/۱۲/۲۰

رشته‌ی مهندسی شیمی

گواش: امیر موسی‌پور

ردیف	سنت	نام و نام خانوادگی	مرتبه دانستگاه	دانستگاه با مؤسسه	نام
۱	استاد راهنمای	دکتر موسن روشن شهر		دانشگاه فنی و حرفه‌ی ایران	جعفری
۲	استاد راهنمای				کاظمی
۳	استاد متخصص	دکتر محمد حسن ایکانی		دانشگاه فناوری اسلامی	علی
۴	استاد متخصص				علی
۵	استاد دهم عازمی	دکتر ابراهیم		دانشگاه فناوری اسلامی	علی
۶	استاد دهم عازمی				علی
۷	استاد دهم عازمی	دکتر بهادری		دانشگاه فنی و حرفه‌ی ایران	علی
۸	استاد دهم عازمی				علی

مجوز بهره برداری از پایان نامه

بهره برداری از این پایان نامه در چهار چوب مطررات گتابخان و با توجه به محدودیتی که توسط استاد راهنمای شرح زیر تعین می شود، بلامنع است:

بهره برداری از این پایان نامه / رساله برای هسگان بلامنع است.

بهره برداری از این پایان نامه / رساله با اخذ مجوز از استاد راهنمای بلامنع است.

بهره برداری از این پایان نامه / رساله تا تاریخ _____ ممنوع است.

مکرر میر

نام استاد یا استاد راهنمای

تاریخ: ۱۳۸۸

اطلاع



:

تقدیم به همسرم به خاطر شوق و تحملش

و تقدیم به پدر و مادرم که همیشه پشتیبانم بوده اند

:

وظیفه خود می‌دانم سپاسگزار تمام آنهاست باشم که در این دوره ارزشمند، بودنشان و امیدشان راهگشای من بود؛ خانواده و همسر عزیزم که همانند تمام روزهای گذشته با صبر و حوصله در کنارم بودند.

اساتید عزیز و گرانقدر دانشکده مهندسی شیمی، بخصوص سرکار خانم دکتر روشن ضمیر که با تلاش‌های بی‌شایسته خود نه تنها در انجام این پایان‌نامه بلکه در تمام دوره تحصیل مرا یاری نمودند و به هنگام نیاز برای حل مشکلات اینجانب از هیچ کمکی دریغ نورزیدند. برای ایشان آرزوی سلامتی، موفقیت و سر بلندی را دارم. همچنین از کلیه دوستان و هم اتاقی‌های عزیزم در خوابگاه مجیدیه، آقایان مهندس ایرج عطا اللہی، مهندس قاسم احمدی، مهندس حکمت ولی بیگی و مهندس علی احمدی سواد کوهی، تشکر و قدردانی می‌کنم.

همچنین از جناب آفای دکتر ایکانی که استاد مشاور من بوده اند و جناب آقایان دکتر الیاسی و دکتر بهزادی که برای داوری این پایان‌نامه قبول زحمت نمودند و وقت گرانبهای خود را در اختیار اینجانب قرار دادند، تشکر و قدردانی می‌کنم.

چکیده

لایه‌های نفوذ گازی نقش بسیار کلیدی را در بهبود عملکرد پیل سوختی ایفا می‌کنند و براساس سه مفهوم هدایت الکتریکی بالاتر، مدیریت آب بهتر و عبور پذیری گاز بالاتر طراحی می‌شوند. ورقه‌های کربنی، پارچه‌های کربنی و فلزات سینتر شده به طور گستردگی به عنوان لایه نفوذ گازی مورد استفاده قرار می‌گیرند. اما استفاده از نانو مواد شامل فیبرهای نانو کربنی و نانو لوله‌های کربنی موجب کاهش مقاومت تماسی، بهبود توزیع گاز و مدیریت آب بهتر می‌گردد. لذا در این تحقیق، این امر بصورت آزمایشگاهی مورد بررسی و تحقیق قرار گرفته است. لایه‌های نفوذ گاز با استفاده از مخلوط نانو لوله کربنی و کربن بلک و با نسبت‌های وزنی متفاوتی از PTFE اصلاح شده و در یک پیل سوختی منفرد آزمایشگاهی مورد بررسی قرار گرفت. به منظور بررسی خواص آب گریزی سطوح، آنالیز زاویه تماس روی نمونه‌ها با مقادیر متفاوت از PTFE انجام شد. به منظور مقایسه و بررسی نوع روش پوشش دهی میکرو لایه بر روی ورقه کربنی، لایه‌های نفوذ گازی به دو روش میکرو اسپری و پوشش دهی چرخان آماده و آنالیز توزیع اندازه حفرات بر روی آنها انجام شد. تصویر میکروسکوپ الکترونی لایه‌های نفوذ گازی اصلاح شده، الگوی توزیع یکنواخت و بدون شکاف از پودرهای کربنی در میکرو لایه متخلخل را نشان داد. در نهایت، از لایه نفوذ گازی با مخلوط ۵۰٪ وزنی کربن بلک و ۵۰٪ وزنی نانو لوله کربنی و ۳۰ درصد وزنی PTFE با بارگذاری $\frac{mgr}{cm^2}$ در ساخت مجموعه الکترود- غشا^۱ (MEA) پیل سوختی استفاده شده و سپس در پیل سوختی آزمایشگاهی مورد آزمایش قرار گرفت. عملکرد پیل سوختی براساس منحنی پلاریزاسیون با لایه نفوذ گازی اصلاح شده بهتر از حالت اصلاح نشده بود.

واژه‌های کلیدی: پیل سوختی غشاء تبادل پروتون، لایه نفوذ گازی، میکرو لایه متخلخل، نانو لوله‌های کربنی

^۱ Membrane Electrode Assembly (MEA)

فهرست مطالب

صفحه	عنوان
۷	فصل ۱
۷	مقدمه‌ای بر لایه‌های نفوذ گازی غشاء تبادل پروتون
۸	۱-۱. مقدمه
۹	۱-۲. ساختار لایه‌های نفوذ گازی
۱۳	۱-۳. خصوصیات لایه‌های نفوذ گازی
۱۵	۱-۴. محیط نفوذی بر اساس فیبر کربنی
۱۷	۱-۵. جمع بندی
۱۸	فصل ۲
۱۸	روش‌های اصلاح لایه‌های نفوذ گازی و تاثیر میزان و نوع مواد به کار رفته در آن روی عملکرد پیل سوختی
۱۹	۲-۱. مقدمه
۲۰	۲-۲. اصلاح لایه‌های نفوذ گازی با استفاده از پودرهای کربنی
۲۱	۲-۲-۱. اصلاح لایه‌های نفوذ گازی به روش تک مرحله‌ای
۲۳	۲-۲-۲. اصلاح لایه‌های نفوذ گازی به روش دو مرحله‌ای
۲۶	۲-۳. عملکرد یک لایه نفوذ گازی فلزی برای PEMFC
۲۶	۲-۳-۱. مقدمه
۲۷	۲-۳-۲. آزمایشات
۲۸	۲-۳-۳. نتایج
۲	۴-۱. تاثیر میزان و نوع مواد به کار رفته روی عملکرد لایه نفوذ گازی (مواد کربنی و PTFE) و جریان آب
۳۲	۴-۲. تاثیر مقدار PTFE روی عملکرد لایه نفوذ گازی و جریان آب
۳۲	۴-۳. اثر مقدار و نوع پودرهای کربنی به کار رفته در اصلاح لایه نفوذ گازی
۴۴	۴-۴. جریان آب در لایه نفوذ گازی PEMFC
۴۴	۴-۵-۱. مقدمه
۴۵	۴-۵-۲. آزمایشات
۴۷	۴-۵-۳. نتایج
۴۸	۴-۵-۴. ابعاد حفره برای جریان آب در لایه نفوذ گازی
۵۱	۴-۶. جمع بندی
۵۲	فصل ۳
۵۲	آزمایشات

۵۲	۱-۳
۵۳	۲-۳
۵۳	۱-۲-۳
۵۴	۲-۲-۳
۵۹	۳-۲-۳
۶۴	۳-۳

۶۸

فصل ۴

۶۸	نتایج و تفسیر آنها
۶۹	۱-۴
۶۹	۲-۴
۷۱	۳-۴
۷۴	۴-۴
۷۹	۵-۴
۷۹	۱-۵-۴
۸۰	۲-۵-۴
۸۲	۴-۶
۹۰	۷-۴

۹۱

فصل ۵

۹۱	جمع بندی و ارائه پیشنهاداتی برای تحقیقات آتی
۹۲	۱-۵
۹۳	۲-۵

۹۵

مراجع و مأخذ

فهرست شکل‌ها

صفحه	عنوان
۷	فصل ۱
۷	مقدمه‌ای بر لایه‌های نفوذ گازی غشاء تبادل پروتون
۱۰	شکل ۱-۱. شمایی از یک لایه نفوذ گازی دو لایه [۷]
۱۱	شکل ۱-۲. تاثیر میکرو لایه‌های متخلخل را روی پیل سوتی در دماهای ورودی مختلف a: محیط نفوذ گازی بدون میکرو لایه متخلخل b: محیط نفوذ گازی با استفاده از میکرو لایه‌های متخلخل شرایط عملیاتی عبارتند از: مساحت پیل ۵۰ سانتی متر مربع، دمای پیل ۶۰ درجه سانتی گراد، [۷]
۱۲	شکل ۱-۳. تاثیر میکرو لایه‌های متخلخل در لایه نفوذ گازی [۳]
۱۴	شکل ۱-۴. برش عرضی یک غشاء پوشیده با کاتالیست که بین دو محیط نفوذ گازی قرار گرفته است [۷]
۱۶	شکل ۱-۵. تصویر SEM ساختارهای محیط نفوذ گازی. قطر فیبر در حدود ۷ میکرو متر a: فیبر ورقه کربنی 2050 بدون اعمال PTFE. b: پارچه کربنی Textron Avcorb 1071 HCB
۱۸	فصل ۲
۱۸	روش‌های اصلاح لایه‌های نفوذ گازی و تاثیر میزان و نوع مواد به کار رفته در آن روی عملکرد پیل سوتی
۲۰	شکل ۲-۱. مجموعه یک پیل سوتی با غشاء الکتروولیت پلیمری [۷]
۲۱	شکل ۲-۲. نمودار روش اصلاح لایه‌های نفوذ گازی (روش تک مرحله ای) [۲۳]
۲۱	شکل ۲-۳. نمودار روش اصلاح لایه‌های نفوذ گازی (روش دو مرحله ای) [۲۳]
۲۳	شکل ۲-۴. شمایی از یک لایه‌های نفوذ گازی دو لایه. میکرو لایه متخلخل بین ورقه کربنی و لایه کاتالیستی قرار می‌گیرد. [۷]
۲۷	شکل ۲-۵. شمایی از پیل سوتی با لایه نفوذ گازی مسی [۲۷]
۲۸	شکل ۲-۶. تصویر SEM لایه نفوذ گازی مسی را پس از گذشت ۲۰ دقیقه از قلمه زنی [۲۷]
۲۹	شکل ۲-۷. منحنی پلاریزاسیون پیل سوتی با ورقه کربنی TORAY TGP-H-060 و لایه نفوذ گازی مسی در دانسیته جریان $\frac{A}{cm^2}$ و نسبت‌های استوکیومتری ۲/۲ و ۴/۴ [۲۷]
۳۰	شکل ۲-۸. تصویر SEM یک میکرو لایه متخلخل اصلاح شده روی یک لایه نفوذ گازی مسی. تصویر بالا و سمت راست، نشان دهنده زاویه تماس آب روی میکرو لایه متخلخل است. [۲۷]
۳۱	شکل ۲-۹. بهبود عملکرد با افزودن میکرو لایه متخلخل و افزایش انتقال با افزودن یک ورقه کربنی بین لایه نفوذ گازی مسی و صفحات دو قطبی یک لایه نفوذ گازی مسی. [۲۷]
۳۴	شکل ۲-۱۰. تاثیر مقدار PTFE روی نفوذ پذیری گاز و شعاع متوسط حفرات محیط نفوذ گازی a: محیط نفوذ گازی CP190 b: محیط نفوذ گازی CP250 [۲۸]
۴۵	شکل ۲-۱۱. منحنی عملکرد پیل‌های سوتی با مقادیر مختلف PTFE روی محیط نفوذ پذیری گاز در رطوبت نسبی های مختلف در کاتند. دمای پیل ۶۰ درجه سانتی گراد. a: CP250-۰-۰ b: CP250-۰-۵ c: CP250-۱-۵ d: CP250-۲-۵ e: CP250-۳-۵ f: CP250-۴-۵ [۲۸]
۴۶	شکل ۲-۱۲. تاثیر ضخامت محیط نفوذ گازی روی انتقال آب و عملکرد پیل در ۶۰ درجه سانتی گراد a: CP250 b: CP190 [۲۸]

شکل ۱۳-۲. تاثیر رطوبت نسبی روی عملکرد پیل های سوختی با مقادیر مختلف PTFE روی محیط نفوذ گازی CP250 در رطوبت نسبی های مختلف در کاتد. دمای پیل ۶۰ درجه سانتی گراد. a: CP250-۰-۰ b: CP250-۴۵ c: CP250-۳۵ d: CP250-۲۸	۳۷
شکل ۱۴-۲. تاثیر میکرولایه متخلخل روی منحنی عملکرد پیل سوختی. a: CP190-۱۵ b: محیط نفوذ گازی به همراه میکرولایه متخلخل.	۳۸
شکل ۱۵-۲. آنالیز TEM نمونه های کربنی a: Vulcan XC-72R b: Black Pearl 2000 c: نانولوله های کربنی d: فیبرهای نانو کربنی	۴۱
شکل ۱۶-۲. مقایسه نفوذپذیری هوا در نمونه های اصلاح شده	۴۲
شکل ۱۷-۲. منحنی پلاریزاسیون پیل سوختی با استفاده از لایه های نفوذ گازی اصلاح شده [۲۹]	۴۳
شکل ۱۸-۲. شمایی از سمت کاتد یک مجموعه غشاء-الکتروود [۳۰]	۴۴
شکل ۱۹-۲. شمایی از اندازه گیری دبی. فشار هیدرو استاتیکی برای دبی با استفاده از ارتفاع آب در بالای محیط نفوذ گاز اندازه گیری می شود. با استفاده از گیره و باز و بستن آن می توان فشار مورد نیاز را فراهم کرد. تصویر سمت راست، دستگاه اندازه گیری را نشان می دهد.	۴۶
شکل ۲۰-۲. دبی جریان به عنوان تابعی از فشار فراهم شده روی ورقه کربنی که با محلول PTFE اعمال شده است. تا زمانی که فشار هیدرو استاتیکی به ۵۲۰۰ Pa (نقطه a) نرسیده، جریان آب مشاهده نمی شود. با یک افت فشار کم، آب جریان می افتد (b) و با کاهش افت فشار هیدرو استاتیکی، دبی جریان آب کاهش می یابد. (از نقطه b به c)	۴۷
شکل ۲۱-۲. مدل ایده آل لایه نفوذ گازی، شامل حفرات سیلندری موازی، با قطر های مختلف است. با فراهم کردن فشار مورد نیاز، آب به درون حفرات آب گریز وارد می شود. در ابتدا آب وارد بزرگترین حفرات می شود. سطوح با خاصیت آب گریزی بیشتر (زاویه تماس بیشتر)، فشار بیشتری برای ورود آب به درون حفرات نیاز دارند.	۴۹

فصل ۳

آزمایشات	۵۲
شکل ۱-۳. مواد و تجهیزات مورد استفاده در اصلاح لایه های نفوذ گازی	۵۵
شکل ۲-۳. سیستم آب دیونیزه مورد استفاده در آزمایشگاه	۵۶
شکل ۳-۳. همزن مغناطیسی	۵۷
شکل ۳-۴. دستگاه هموژنایزر اولتراسونیک	۵۷
شکل ۳-۵. کوره Lenton Thermal Design LTD	۵۸
شکل ۳-۶. شمایی از زاویه تماس در نمونه های آب دوست و آب گریز	۶۰
شکل ۳-۷. دستگاه اندازه گیری زاویه تماس موجود در پژوهشگاه پلیمر و پتروشیمی	۶۱
شکل ۳-۸. دستگاه اندازه گیری توزیع اندازه حفرات موجود در دانشگاه تربیت مدرس	۶۳
شکل ۳-۹. ساخت افزار پیل سوختی الکتروولیت پلیمر جامد واحد، ساخت شرکت Electro Chem	۶۵
شکل ۳-۱۰. شمایی از دستگاه تست پیل سوختی ساخت شرکت تقاطیران، طراحی شده در پژوهشکده دانشگاه علم و صنعت ایران	۶۵
شکل ۳-۱۱. مجموعه آزمایشگاهی (Set-up) مورد استفاده در آزمایشات	۶۶
شکل ۳-۱۲. نمودار جریانی دستگاه تست پیل سوختی	۶۶
شکل ۳-۱۳. دستگاه های اندازه گیری الف- کنترل کننده ای جریان جرمی گازها ، ب- رؤستا برای تغییر شدت جریان، ج- مولتی مترها با دقت های مختلف، د- کنترل کننده ای دیجیتالی دما	۶۷

فصل ۴

نتایج و تفسیر آنها

شکل ۴-۱. شمایی از زاویه تماس اندازه گیری شده ۶۸
شکل ۴-۲. توزیع اندازه حفرات اندازه گیری شده با استفاده از روش پوشش دهی چرخان ۷۰
شکل ۴-۳. توزیع اندازه حفرات اندازه گیری شده با استفاده از روش پوشش دهی میکرو اسپری ۷۲
شکل ۴-۴. مورفولوژی سطحی لایه نفوذ گازی اصلاح شده با استفاده از مخلوط ۱۰۰ درصد وزنی نانو لوله کربنی ۷۳
شکل ۴-۵. مورفولوژی سطحی لایه نفوذ گازی اصلاح شده با استفاده از مخلوط ۱۰۰ درصد وزنی کربن بلک ۷۵
شکل ۴-۶. مورفولوژی سطحی لایه نفوذ گازی اصلاح شده با استفاده از مخلوط ۱۰۰ درصد وزنی کربن بلک ۷۶
شکل ۴-۷. مورفولوژی سطحی لایه نفوذ گازی اصلاح شده با استفاده از مخلوط ۱۰۰٪ کربن بلک و ۵٪ نانو لوله کربنی ۷۸
شکل ۴-۸. شمایی از مجموعه الکترود - غشاء با استفاده از لایه نفوذ گازی اصلاح شده ۸۲
شکل ۴-۹. منحنی پلاریزاسیون مجموعه الکترود - غشاء های با استفاده از لایه نفوذ گازی اصلاح شده (ME1) و مجموعه الکترود - غشاء با استفاده از ورقه های کربنی به عنوان لایه نفوذ گازی (اصلاح نشده) (ME2) در دمای ۷۰ درجه و فشار ۲ اتمسفر ۸۶
شکل ۴-۱۰. مقایسه ME_1 (اصلاح شده با مخلوط ۵۰ درصد وزنی نانو تیوب کربنی و ۵۰ درصد وزنی کربن بلک) با ME_2 (اصلاح نشده) ۸۷
شکل ۴-۱۱. مقایسه ME_3 (اصلاح شده با مخلوط ۱۰۰ درصد وزنی نانو تیوب کربنی) با ME_2 (اصلاح نشده) ۸۸
شکل ۴-۱۲. مقایسه ME_3 (اصلاح شده با مخلوط ۱۰۰ درصد وزنی نانو تیوب کربنی) با ME_1 (اصلاح شده با مخلوط ۵۰ درصد وزنی نانو تیوب کربنی و ۵۰ درصد وزنی کربن بلک) ۸۹

فصل ۵

جمع بندی و ارائه پیشنهاداتی برای تحقیقات آتی

مراجع و مأخذ

فهرست جداول‌ها

صفحه	عنوان
۷	فصل ۱
۷	مقدمه‌ای بر لایه‌های نفوذ گازی غشاء تبادل پروتون
۱۸	فصل ۲
۱۸	روش‌های اصلاح لایه‌های نفوذ گازی و تاثیر میزان و نوع مواد به کار رفته در آن روی عملکرد پیل سوختی
۳۳	جدول ۲-۱. تخلخل محیط‌های نفوذ گازی با مقادیر مختلف PTFE [۲۸]
۴۰	جدول ۲-۲. خواص فیزیکی بودرهای کربنی مورد استفاده [۲۹]
۴۲	جدول ۲-۳. خواص فیزیکی لایه‌های نفوذ گازی اصلاح شده [۲۹]
۵۲	فصل ۳
۵۲	آزمایشات
۶۸	فصل ۴
۶۸	نتایج و تفسیر آنها
۷۱	جدول ۴-۱. نتایج آنالیز زاویه تماس. الف) نمونه با بارگذاری ۲۰ درصد وزنی PTFE . ب) نمونه با بارگذاری ۵۰ درصد وزنی PTFE
۸۵	جدول ۴-۲. مشخصات مجموعه الکترود- غشاء‌های اصلاح شده و اصلاح نشده.....
۸۸	جدول ۴-۳. محاسبه درصد افزایش ولتاژ در سه دانسیته جریان در مورد دو مجموعه ME_1 (اصلاح شده با مخلوط ۵۰ درصد وزنی نانو تیوب کربنی و ۵۰ درصد وزنی کربن بلک) با ME_2 (اصلاح نشده)
۸۹	جدول ۴-۴. محاسبه درصد افزایش ولتاژ در سه دانسیته جریان در مورد دو مجموعه ME_3 (اصلاح شده با مخلوط ۱۰۰ درصد وزنی نانو تیوب کربنی) با ME_2 (اصلاح نشده)
۹۱	فصل ۵
۹۱	جمع‌بندی و ارائه پیشنهاداتی برای تحقیقات آتی
۹۵	مراجع و مأخذ

فصل ۱

مقدمه‌ای بر لایه‌های نفوذ گازی
غشاء تبادل پروتون

۱-۱. مقدمه

مجموعه های پیل سوختی غشاء تبادل پروتون^۱ دارای الکتروکاتالیست ها، غشاء تبادل پروتون، صفحات دو قطبی^۲، لایه های نفوذ گاز^۳ و ... هستند.^[۱-۳]

لایه متخلخل نفوذ گاز در پیل های سوختی غشاء تبادل پروتون ها سبب انتقال واکنش دهنده ها به سطح کاتالیستی و نیز انتقال محصولات و آب تولیدی از سطح کاتالیست به خارج می شود. انواع مختلفی از ساختار کربنی مثل کربن کاغذ^۴ و کربن بلک^۵ با ضخامتی در حدود $300 - 400 \mu m$ استفاده می شوند.^[۴]

به منظور بهبود انتقال سیال از یک طرف به طرف دیگر، لایه های نفوذ گازی می توانند تخلخل بیشتری داشته باشد، اما هزینه نیز افزایش می یابد. همچنین برای رسیدن به عملکرد بالا و پایدار یک پیل سوختی، مقدار آب باید به دقت کنترل و مدیریت شود، که این امر توسط لایه های نفوذ گازی به خوبی انجام می شود. معمولاً به دلیل جلوگیری از تجمع آب و بروز پدیده طغیان، لایه های نفوذ گازی، آب گریز^۶ ساخته می شوند.^{[۵] و [۶]}

ورقه های کربنی، پارچه های کربنی^۷ و فلزات سینتر شده^۸ به طور گسترده به عنوان لایه نفوذ گازی استفاده می شوند. شرائط لازم برای لایه نفوذ گازی، هدایت الکتریکی بالا^۹، انتقال آب و گاز و مقاومت به خوردگی است. استفاده از نانو مواد موجب کاهش مقاومت تماسی، بهبود توزیع گاز^{۱۰} و مدیریت

¹-Poroton Exchange Membrane Fuel Cell, PEMFC

²- Bipolar Plate

³ -Gas Diffusion Layer ,GDL

⁴ - Carbon Paper

⁵ - Carbon Black

⁶ - Hydrophobic

⁷ - Carbon Cloth

⁸ - Sintered Metals

⁹ - Electrical Conductivity

¹⁰ - Gas Permeability

آب^۱ می شود. فیبرهای نانو کربنی^۲ و نانو لوله های کربنی^۳ بسیار مناسب هستند، زیرا هدایت الکتریکی آنها ۱۰ مرتبه بزرگی^۴ بیشتر از کربن بلک های معمولی است.[۳]

۱-۲. ساختار لایه های نفوذ گازی

در پیل های سوختی غشاء تبادل پروتون، ضروری است که لایه کاتالیستی آند و کاتد تماس الکتریکی با جمع کننده جریان داشته باشند، این جمع کننده های جریان، لایه نفوذ گازی نامیده می شوند که جزء کلیدی برای دستیابی به عملکرد بالا در پیل های سوختی غشاء تبادل پروتون است.

برای یک پیل سوختی بهترین حالت وقتی است که در دانسیته جریان بالا برای رسیدن به بالاترین توان خروجی کار کند. برای رسیدن به دانسیته جریان بالا، فلاکس^۵ بالایی از گاز مورد نیاز است و این امر نیازمند داشتن یک لایه نفوذ گازی ایده ال برای انتقال موثر گاز به سطح کاتالیستی در سرعت های بالاست.[۷]

لایه های نفوذ گازی به طور عمومی ساختار متخلخل بر مبنای کربن دو لایه دارند، شماتیک لایه نفوذ گازی بین زمینه جریان و لایه کاتالیستی در شکل ۱-۱ نشان داده شده است. لایه اول لایه نفوذ گازی یا محیط نفوذ گازی^۶، یک ساختار کربنی ماکرو متخلخل^۷ از پارچه و یا ورقه های کربنی است. ساختار ماکرو متخلخل به عنوان جمع کننده جریان عمل می کند.

¹- Water Management

²- Carbon Nano-Fiber

³- Carbon Nano-Tube

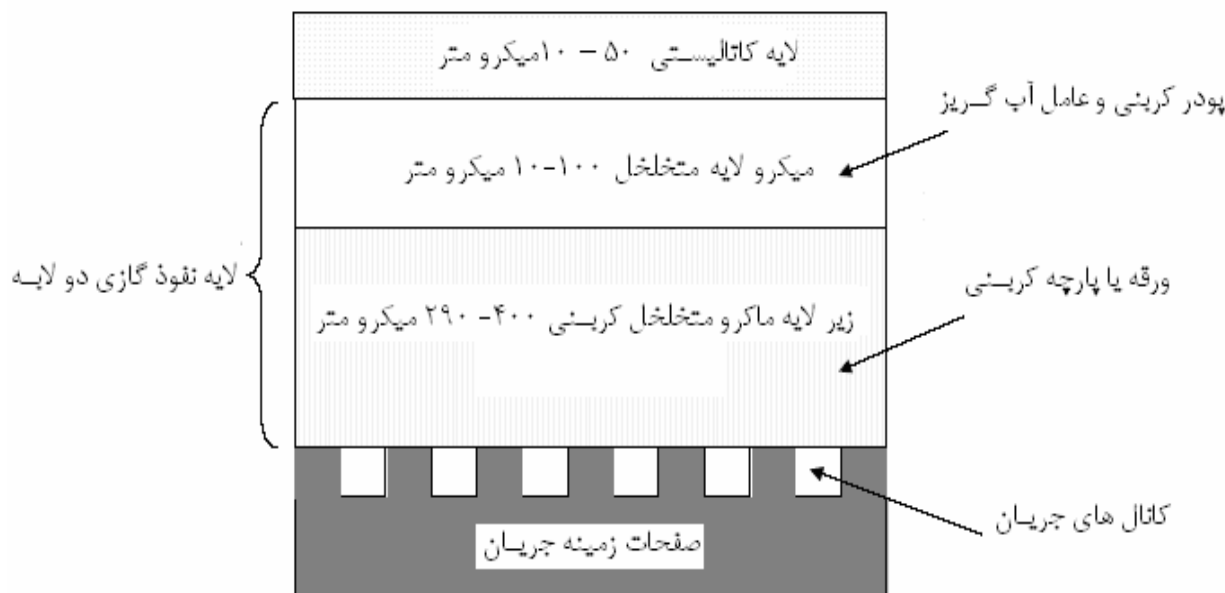
⁴- 10 order of magnitude

⁵- Flux

⁶- Gas Diffusion Medium ,GDM

⁷-Macro Porous

دومین لایه، لایه میکرو متخلخل^۱ نازکی است که شامل پودر کربن و برخی عوامل آب گریز است. این لایه در تماس با لایه کاتالیستی است. این میکرولایه متخلخل از بروز طغیان در لایه نفوذ گازی جلوگیری کرده و تماس الکتریکی بین سطح و لایه کاتالیستی را افزایش می دهد.



شکل ۱-۱. شماتی از یک لایه نفوذ گازی دو لایه [۷]

پودرهای کربنی مختلفی مثل Vulcan XC- 72 R ,Carbon Black در ساخت میکرو لایه متخلخل استفاده می شوند. [۷-۱۰]

پلی تترا فلوئورو اتیلن^۲ اغلب موارد به عنوان عامل آب گریز به لایه نفوذ گازی افزوده می شود. تاثیر مقدار PTFE روی عملکرد مطالعه شده است. با افزایش مقدار PTFE ، در نتیجه افزایش مقاومت انتقال اکسیژن، تخلخل^۳ کاهش می یابد. با وجود این وقتی مقدار PTFE کم است، توانایی و بازیابی

^۱-Micro Porous Layer ,MPL

^۲- Poly Tetra Flouore Ethylene ,PTFE

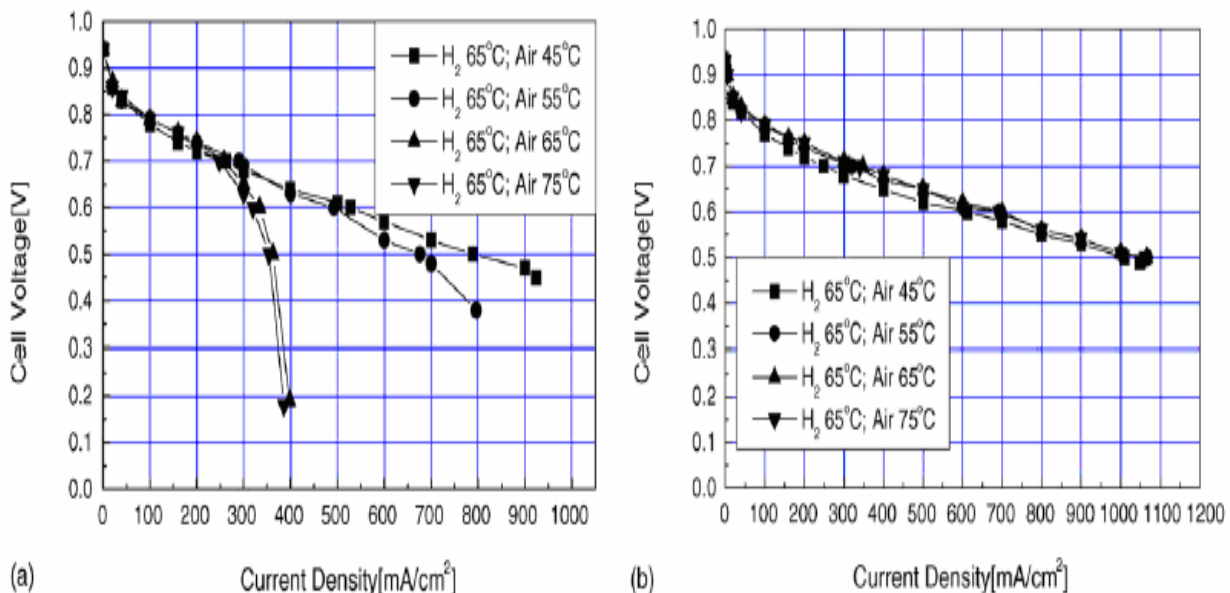
^۳- Porosity

آب کافی نیست. مقدار بهینه PTFE در حالت نزدیک اشباع حدود ۳۰-۱۵ درصد وزنی است. [۷]

[۱۱]

ضخامت میکرو لایه متخلخل یک عامل کلیدی در عملکرد پیل سوختی است. اگر ضخامت میکرولایه متخلخل خیلی کم باشد، مقاومت کلی پیل به سبب ناکافی بودن لایه کربن برای تماس الکتریکی مناسب بین ساختار ماکرو متخلخل و لایه کاتالیست، افزایش می یابد.

شکل ۱-۲ تاثیر میکرو لایه های متخلخل را روی پیل سوختی در دماهای ورودی مختلف، نشان می دهد. مشاهده می شود که در حالتی که از میکرو لایه های متخلخل استفاده می کنیم، عملکرد پیل بهبود می یابد.

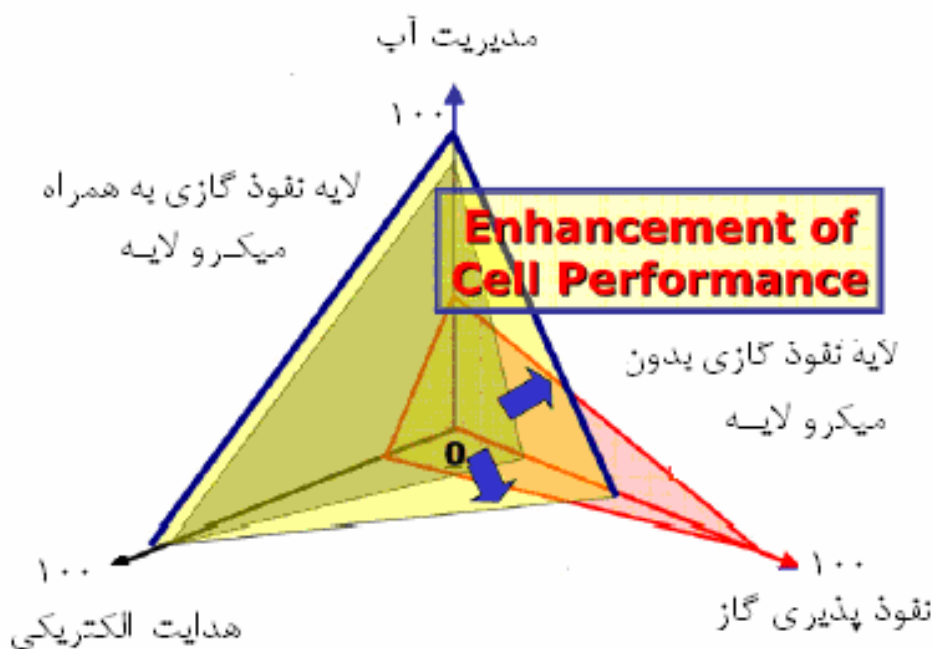


شکل ۱-۲. تاثیر میکرو لایه های متخلخل را روی پیل سوختی در دماهای ورودی مختلف a: محیط نفوذ گازی بدون میکرو لایه متخلخل b: محیط نفوذ گازی با استفاده از میکرو لایه های متخلخل شرایط عملیاتی عبارتند از: مساحت پیل ۵۰ سانتی متر مربع، دمای پیل ۶۰ درجه سانتی گراد، [۷]

با توجه به شکل ۱-۳، محیط نفوذ گازی بدون میکرو لایه متخلخل، فقط نفوذ پذیری خوبی در مقابل هوا دارد، اما مدیریت آب و هدایت الکتریکی ضعیفی دارد. با افزودن میکرو لایه متخلخل به محیط نفوذ گازی، هدایت الکتریکی و توانایی مدیریت آب افزایش می یابد.

(۱۱)

در این شکل، مساحت هر مثلث، به عملکرد پیل نسبت داده می شود.[۳]



شکل ۱-۳. تاثیر میکرو لایه های متخلخل در لایه نفوذ گازی [۳]

با افزودن میکرو لایه های متخلخل، مساحت مثلث که به عملکرد پیل نسبت داده می شود، افزایش قابل توجهی پیدا می کند.

به منظور دستیابی به عملکرد بهینه، میکرو لایه ها باید به صورت یک لایه نازک، روی محیط نفوذ گازی پوشیده شوند، تا هدایت الکتریکی را در سطح بالایی نگه دارد.

برای ساخت میکرو لایه نازک، فیبرهای نانو کربنی و نانولوله های کربنی گزینه های بسیار مناسبی هستند، زیرا هدایت الکتریکی آنها ۱۰ مرتبه بزرگی، بالاتر از کربن بلک های معمولی است.

ساختار مناسب، هدایت حرارتی و پایداری الکتروشیمیایی بالا، از مهمترین مزایای این نانو مواد به پودرهای کربنی معمولی است.[۳]

۱-۳. خصوصیات لایه های نفوذ گازی

با توجه به توضیحاتی که ارائه شد، مشاهده شده لایه های نفوذ گازی نقش بسیار مهمی در بهبود عملکرد یک پیل سوختی دارند.

ورقه های کربنی، پارچه های کربنی، فلزات سینتر شده و نیز نانو مواد شامل فیبرهای نانو کربنی و نانو لوله های کربنی به طور گستردۀ ای در ساخت لایه های نفوذ گازی مورد استفاده قرار می گیرند.

در طراحی لایه های نفوذ گازی، خواص لایه های نفوذ گازی مورد توجه قرار می گیرد. با توجه به

شكل ۱-۴ مهم ترین خواص لایه های نفوذ گازی یک پیل سوختی عبارتند از: [۲] و [۷] و [۱۵-۱۲]

۱- نفوذ پذیری مناسب گاز و هوا (سوخت و اکسید کننده): تهیه واکنش دهنده گازی از کanal

های زمینه جریان به سطح کاتالیست

۲- نفوذ پذیری محصولات: فراهم کردن مسیر مناسب برای حذف آب و محصولات تولیدی از

لایه کاتالیستی به کanal های زمینه جریان

۳- هدایت الکتریکی بالا و فراهم کردن هدایت الکترونی مورد نیاز از صفحات دو قطبی به لایه

کاتالیستی

۴- هدایت حرارتی: فراهم کردن موثر حذف حرارت از مجموعه غشاء- الکترود به صفحات دو

قطبی که توسط کanal های سرد کننده انجام می شود.

۵- مدیریت آب مناسب

۶- مورفولوژی سطح^۱ بدون شکاف^۲

۷- افزایش پایداری اکسایشی

¹- Surface Morphology

²- Crack Free